

# 鉄筋コンクリート管の配筋に関する2・3の考察

秋田大学 正員 川上 駿  
正員 徳田 弘  
学生員 O近藤春彦

## 1. まえがき

鉄筋コンクリート管の強度に関しては、JIS A5303「遠心力鉄筋コンクリート管」においてひびわれ、および破壊荷重に対する外圧強さが規定されている。(しかしコンクリートの配合は、任意であり配筋に関しては最小かぶりのみに制約があった。) たがって外圧強さを満足するための配合や配筋は、製造工場の経験により決定されている場合が多く、理論的な研究は少ないようである。一方外圧強さに関する杉木は極限解析の立場より研究し、破壊荷重と破壊モーメントの関係を明らかにし、その結果は設計に広く用いられてきている。(しかしその対象は、対称複数筋筋面または、鉄筋位置が断面の中心にある管であると考えられる。本研究は単筋筋筋面の管の外圧強さを極限解析により明らかにし、さらにその結果を外圧試験により比較、考察したものである。

## 2. 極限解析

単筋筋筋面を対象としてその鉄筋位置により曲率の中心に近い方にある場合(I)または逆の場合(II)を考え、それぞれに對し極限解析を行なう。

弾性理論では、図1-(a)のような荷重状態のときのA, B点各点のモーメントは、 $M_A = -0.182Q \cdot r$ ,  $M_B = 0.318Q \cdot r$

(1) 荷重とモーメントの関係

(i) 鉄筋が曲率の中心から遠い方、すなわち外側に位置するとき、B断面は鉄筋が圧縮となりるので、最初に塑性モーメント  $M_{B1}$  に達し、塑性ヒンジが生じる。(図1-(b)) このときの荷重  $P_1$  とすると、A点のモーメント  $M_{A1}$  は (1) より  $M_{A1} = -0.182Q_1 \cdot r = -0.182(M_{B1}/0.318r)r = -0.572M_{B1}$  (2) B点に塑性ヒンジが発生した後、新たな荷重を  $\Delta Q$  とすると、これによるA点のモーメントの増加は、図1-(c) より  $\Delta M_A = -\Delta Q \cdot r/2$  (3)  $P_1$  と  $\Delta P$  によるモーメントの和が破壊モーメントとなるから (2)+(3) より

$$M_{A1} = M_A + \Delta M_A = -0.572M_{B1} - \Delta Q \cdot r/2 \quad (4)$$

(4) より  $\Delta P$  を求め (2) の  $P_1$  に加え、破壊荷重  $Q_{max}$  を求めると

$$P_{max} = Q_1 + \Delta Q = (2\alpha + 2.001)M_{B1}/r \quad (|M_{A1}| = \alpha |M_{B1}| = \alpha M_{B1}) \quad (5)$$

(ii) 鉄筋が曲率の中心に近い方、すなわち内側に位置するとき、A断面は鉄筋が圧縮となり発生モーメントがB点より小さいにもかかわらず、A点が最初に塑性モーメント  $M_{A2}$  に達し、塑性ヒンジが生じる。(図1-(d))

このときの荷重を  $Q_2$  とするとB点のモーメント  $M_{B2}$  は (1) より

$$M_{B2} = 0.318Q_2 \cdot r = 0.318(M_{A2}/0.182r) \cdot r = 1.747M_{A2} \quad (6)$$

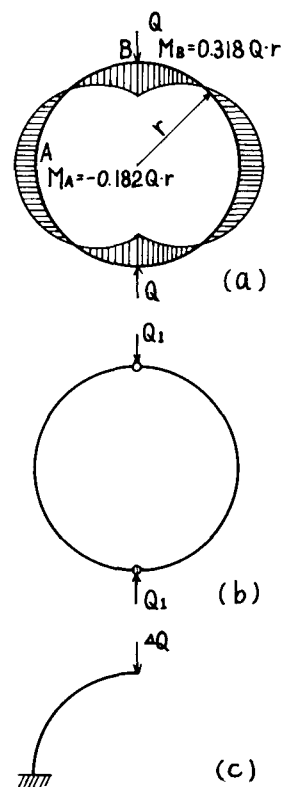
A点に塑性ヒンジが発生した後、新たな荷重を  $\Delta P$  とするとこれによるB点のモーメント増加は、図1-(d) より  $\Delta M_B = \Delta Q \cdot r/2$  (7)

$Q_2$  と  $\Delta Q$  によるモーメントの和が破壊モーメントとなるから (6)+(7) より

$$M_{B2} = M_{B1} + \Delta M_B = 1.747M_{A2} + \Delta Q \cdot r/2 \quad (8)$$

(8) より  $\Delta Q$  を求め (6) の  $Q_2$  に加え破壊荷重  $Q_{max}$  を求めると、次のようになる。

$$\therefore Q_{max} = Q_2 + \Delta Q = (2\beta + 2.001)M_{A2}/r \quad (M_{B2} = \beta |M_{A2}| = \beta M_{A2}) \quad (9)$$



(5)で  $\alpha = 1$  すなわち曲率無視で正縮および引張鉄筋量が等しい対称断面のとき、または、曲率無視の鉄筋が断面の中心に位置する断面のとき。

$M_t = 0.25Q_{max} \cdot t$  となり杉本の理論に一致する。しかし著者らは、单鉄筋断面のコンクリート管を考える際  $M_{A1}, M_{B1}, M_{A2}, M_{B2}$  については、鉄筋位置、曲率によりそれぞれ変化し、必ず  $\alpha = 1$  ではないことを指摘した。

### 3. 実験

これらの理論との比較検討のために单鉄筋断面のコンクリート管を用いた。その供試体は、内径60cm、外径70cmのJIS A 5303に規定されているソケット管で、鉄筋の位置が外径から1cmのかぶりのものと、内径から1cmのかぶりのものを製作し、外圧試験を行った。

### 4. 結果と考察

図2、図3は2)の理論よりひびわれモーメント、破壊モーメントと鉄筋の位置との関係を示したものである。ひびわれモーメントは外側からのかぶりの増加によりわずかに大きくなる傾向があるが、理論値の方が若干安全側を示している。破壊については、実験により得られたひびわれ荷重および破壊荷重を前述の「2. 極限解析」に適用し、荷重とモーメントの関係を図4、図5に示す。図4ではB点、図5ではA点にひびわれがはい、たときはこどりは塑性ヒンジがはい、たと仮定したが、図4では理論値が実験値より安全側に出ている。

そこでこれらの理論から单鉄筋断面のコンクリート管の最適設計について考慮すると、ひびわれ荷重については、鉄筋位置による影響は少なく、むしろコンクリートの引張強度の方が大きく影響するようである。また破壊荷重については、同鉄筋量なら内側より外側に配筋した方が大きな値が期待できると考えられる。

单鉄筋コンクリート管を作製する際には、鉄筋は許される範囲で断面の外側に配筋し、かつコンクリートの強度が大となるように配合を改善することによりひびわれ、破壊荷重の増大をはかることができると考えられる。

図-2

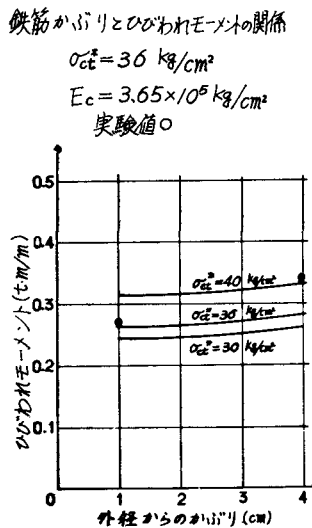


図-3

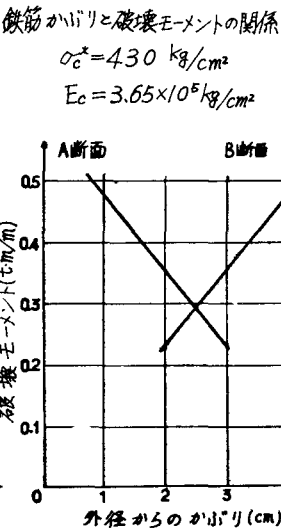


図-4

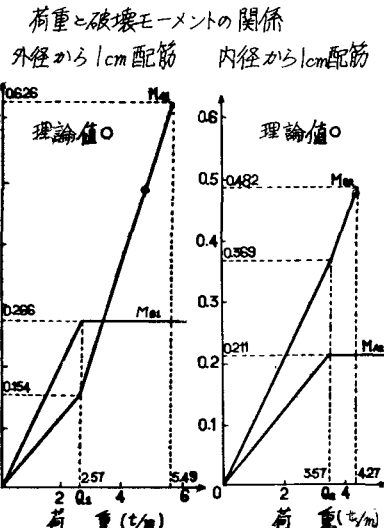
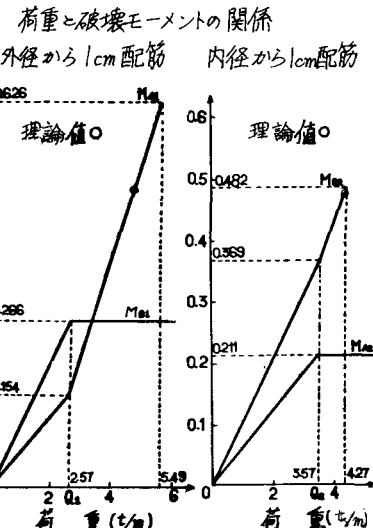


図-5



### 参考文献

- 1) 杉木六郎;「極限強さ設計法による鉄筋コンクリート管の強度計算」(セメントコンクリート, No.177 1961-11)
- 2) 川上 淳;「鉄筋コンクリート曲線部材の極限強度解析」(第1回コンクリート工学年次講演会講演論文集1979)